

ФОРМИРОВАНИЕ СУБМИКРОСЕКУНДНЫХ
НИЗКОЭНЕРГЕТИЧНЫХ СИЛЬНОТОЧНЫХ
ЭЛЕКТРОННЫХ ПУЧКОВ В ПУШКЕ
С ПЛАЗМЕННЫМ АНОДОМ

Г.Е. О з у р, Д.И. П р о с к у р о в с к и й

Низкоэнергетичные ($eU \sim 10\text{--}30$ кэВ) сильноточные электронные пучки (СЭП) представляют значительный интерес как инструмент для модификации поверхностных слоев материалов методом импульсного нагрева [1, 2]. Низкоэнергетичные СЭП получают, как правило, в вакуумных диодах прямого действия со взрывоэмиссионными катодами [3]. Однако длительность импульса в таких диодах обычно не превышает $\tau_u \sim 10^{-7}$ с, т. к. ограничена временем перемыкания межэлектродного зазора катодной и анодной плазмами со скоростью $(2\text{--}3) \cdot 10^6$ см/с [4]. Переход к длительностям импульса СЭП $\tau_u \sim 10^{-6}$ с представляет определенный интерес, т. к. позволяет уменьшить дефектообразование в поверхностном слое облучаемого материала вследствие уменьшения скорости его нагрева [5].

Увеличение длительности импульса СЭП до $\tau_u \approx 0.5\text{--}1$ мкс в вакуумном диоде прямого действия затруднительно, т. к. связано с увеличением межэлектродного расстояния и соответствующим уменьшением величины напряженности электрического поля на катоде E_k . Для увеличения E_k и первеанса электронного потока используют пушки с плазменным анодом [6]. Плазма, генерируемая искровыми источниками, расположенными в отверстии анодного электрода, натекает в диодный промежуток, сокращает эффективный зазор и существенно увеличивает E_k . Электронный пучок, формируемый в двойном слое между катодной и анодной плазмами, фокусируется в плазменной анодной линзе и почти полностью проходит в анодное отверстие. Однако в [6] пучок был резко неоднороден из-за сильного сжатия собственным магнитным полем. Кроме того, в [6] амплитуда ускоряющего напряжения составляла $U_{max} \approx 80$ кВ. Снижение U_{max} до 20–30 кВ требует проверки возможности эффективного возбуждения взрывной электронной эмиссии на фронте импульса напряжения.

Величина напряженности поля E_k определяется характером изменения потенциала в прикатодном слое объемного заряда ионов. При медленном нарастании напряжения ($\tau_l \ll \tau_\varphi$, где τ_l – время пролета ионом слоя, τ_φ – длительность фронта импульса напряжения) распределение потенциала в слое соответствует закону Чайлда–Ленгмюра. При быстром нарастании напряжения ($\tau_u \gg \tau_\varphi$, т. е. когда ионы практически не успевают сдвинуться с места) распределение потенциала в слое имеет вид:

$$U(x) = \frac{e n_a x^2}{2}, \quad (1)$$

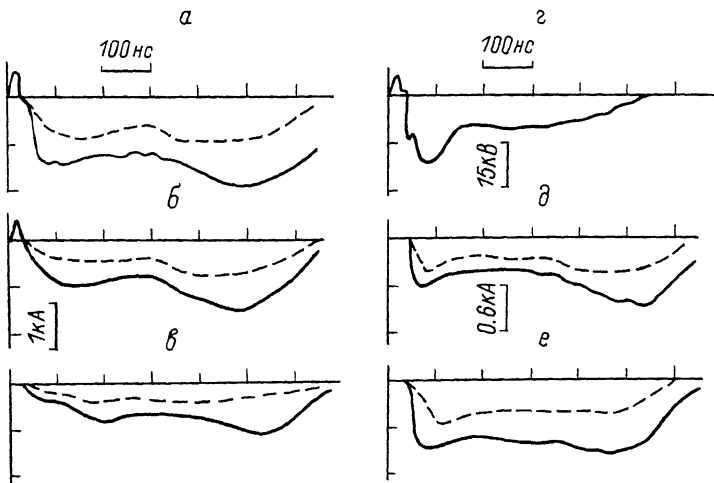


Рис. 1. Типичные осциллограммы. $U_{max} = 20$ кВ.

а-в - ток в диоде при различных значениях амплитуды претым-пульса: а - +25 кВ, б - +15 кВ, в - 0; г - напряжение на диоде, $\tau_3 = 2$ мкс; д, е - осциллограммы коллекторного тока, $L = 8$ см: д - $\tau_3 = 1$ мкс; е - $\tau_3 = 2$ мкс; сплошной линией показаны осциллограммы при $H = 1.3$ кЭ, пунктирной - при $H = 0$.

где $n_a \approx const$ - концентрация ионов анодной плазмы. Например, при $n_a = 5 \cdot 10^{12}$ см⁻³ и $U_{max} = 30$ кВ значения E_K , вычисленные по закону Чайлда-Ленгмюра и по (1), составляют $5 \cdot 10^4$ В/см и $7 \cdot 10^5$ В/см соответственно, т. е. различаются более чем на порядок. Оценки показывают, что при выполнении закона Чайлда-Ленгмюра время пролета ионом слоя объемного заряда составляет $\tau = 15$ нс для ионов C^+ и $\tau_n = 4.5$ нс для ионов H^+ , т. е. сравнимо с характерной длительностью фронта импульса напряжения в сильноточных ускорителях. Следовательно, распределение потенциала в слое не является ленгмюровским. Также не выполняется и условие $n_a(x) = const$. В [7] приведено аналитическое выражение распределения потенциала в прикатодном слое для случая произвольного соотношения между τ_n и τ_φ . Оценки значения E_K по модели [7] дают $E_K \approx 3 \cdot 10^5$ В/см. Такая напряженность поля недостаточна для надежного и однородного по поверхности катода возбуждения взрывной эмиссии. Поэтому при разработке источника электронов были приняты дополнительные меры для улучшения работы катода.

В созданном нами источнике анодная плазма с концентрацией $n_a \sim 10^{12} - 10^{13}$ см⁻³ создавалась 12-ю источниками, расположенными по окружности анодного отверстия. Зазор катод-анод составлял 2.2 см, диаметр катода - 1.5 см. Катод был выполнен из пакета резисторов ТВО-0.125 с сошлифованными торцами, т. е. представлял собой регулярную углеграфито-керамическую

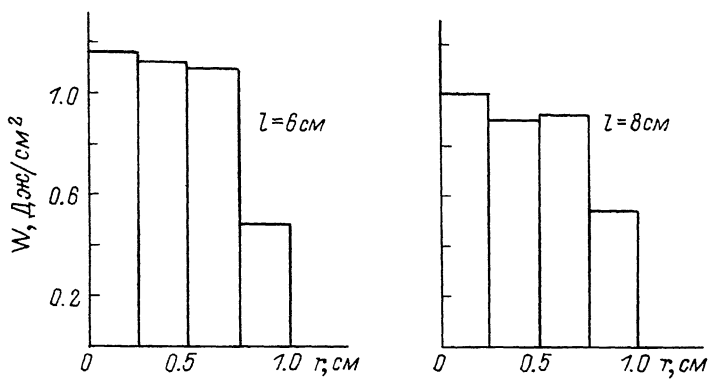


Рис. 2. Гистограммы распределения плотности энергии по сечению пучка, $\tau_\beta = 1$ мкс, $H = 1.3$ кЭ, $\tau_\beta = 20$ кВ.

эмиттирующую структуру. При случайному отсутствии эмиссии некоторых эмиттеров соседние функционирующие эмиттеры стимулируют на первых возбуждение взрывной эмиссии [4]. Генератор импульсных напряжений вырабатывал импульс специальной формы, состоявший из короткого (~ 20 нс) положительного предимпульса амплитудой до 30 кВ и основного импульса ускоряющего напряжения амплитудой до 30 кВ, фронтом $\tau_\phi \approx 10^{-8}$ с и длительностью до 1.2 мкс. Пауза между этими импульсами не превышала 10–15 нс. Время задержки подачи напряжения на катод относительно момента срабатывания искровых источников анодной плазмы обычно составляло 0.5–3 мкс. Внешнее ведущее магнитное поле напряженностью до 2 кЭ, предотвращающее пинчевание пучка, создавалось двумя катушками Гельмгольца. Электроны пучка поглощались коллектором, располагавшимся на расстоянии $l = 6$ –10 см от катода.

На рис. 1 приведены типичные осциллограммы импульсов тока в диоде, напряжения на диоде и тока на коллекторе. Видно, что увеличение амплитуды положительного предимпульса приводит к существенному увеличению токоотбора в диоде и скорости нарастания тока. Рост токоотбора с увеличением амплитуды предимпульса объясняется следующим образом. При подаче предимпульса катодом является анодная плазма. Электроны анодной плазмы, бомбардируя катод, вызывают десорбцию молекул с его поверхности и их ионизацию. Как показывают оценки, концентрация образующейся плазмы составляет 10^{14} – 10^{15} см $^{-3}$. Наличие такой предварительно созданной плазмы стимулирует возбуждение взрывной эмиссии на катоде, одновременно увеличивая начальную эффективную площадь эмиссии, что повышает эффективность токоотбора в диоде.

Наложение внешнего ведущего магнитного поля не только предотвращает пинчевание пучка, но и увеличивает его ток, стабилизирует воспроизводимость его параметров от импульса к импульсу. Времяпролетные измерения с помощью зондов показали, что скорос-

ти разлета анодной плазмы поперек и вдоль силовых линий магнитного поля составили $2 \cdot 10^6$ см/с и $(3-4) \cdot 10^6$ см/с соответственно, т. е. магнитное поле не препятствует образованию квазиоднородного плазменного облака.

Результаты измерений распределения плотности энергии по сечению пучка $W(r)$ приведены на рис. 2. Видно, что в определенных режимах распределение является квазиоднородным. Плотность энергии на коллекторе можно регулировать длиной транспортировки пучка и запасенной в ГИНе энергией в пределах (0.2-4) Дж/см².

Наблюдаемые на опыте величины коллекторных токов примерно на порядок превосходят критические токи, при которых могут развиваться наиболее опасные электростатические неустойчивости: пирсовская и пучково-дрейфовая. Это свидетельствует, по-видимому, о плазменной стабилизации пучка, т. е. о повышении порога развития этих неустойчивостей примерно в n_a/n_b раз (n_b – концентрация электронов в пучке) [8].

Таким образом, низкоэнергетичные СЭП субмикросекундной длительности могут достаточно эффективно генерироваться в пушках с плазменным анодом и взрывоэмиссионным катодом и транспортироваться на расстояние ~ 10 см. Последнее позволяет существенно уменьшить попадание продуктов эрозии катода и анода на облучаемую поверхность.

Благодарим Е.Б. Янкелевича за помощь в разработке установки.

Л и т е р а т у р а

- [1] Месяц Г.А., Прокуровский Д.И., Ротшин В.П., Лебедев Н.И. – ДАН СССР, 1980, т. 253, № 6, с. 1383–1386.
- [2] Dvurechenskii A.V. et al. – Phys. Stat. Sol. 1982, v. 69, N 1, p. 183–187.
- [3] Коваль Б.А., Месяц Г.А., Озур Г.Е. и др. – Письма в ЖТФ, 1981, т. 7, № 20, с. 1227–1230.
- [4] Месяц Г.А., Прокуровский Д.И. Импульсный электрический разряд в вакууме. Новосибирск: Наука, 1984. 256 с.
- [5] Рыжов В.В., Турчановский И.Ю., Шемякина С.Б. – Физ. и хим. обработки материалов, 1985, № 3, с. 56–59.
- [6] Иремашвили Д.В., Осепашвили Т.А., Каучая П.И. – Письма в ЖТФ, 1975, т. 1, № 11, с. 508–511.
- [7] Andrews I.G., Varey R.H. – Phys. Fluids, 1971, v. 14, N 2, p. 453–460.
- [8] Незлин М.В. Динамика пучков в плазме. М.: Энергоиздат, 1982. 263 с.

Поступило в Редакцию
1 декабря 1987 г.